

Vakuum i pridružena instrumentacija

Uvod

- Tlak – kvantitativni pokazatelj vakuma
- Klasifikacija
 - Pred vakuumski sustavi (niski vakuum) je reda veličine 1 Pa
 - Od 1 Pa do 10^{-2} Pa - srednji vakuum
 - Od 10^{-2} do 10^{-5} Pa - visoki vakum
 - Od 10^{-6} Pa i manje - područje ultravisokog vakuma

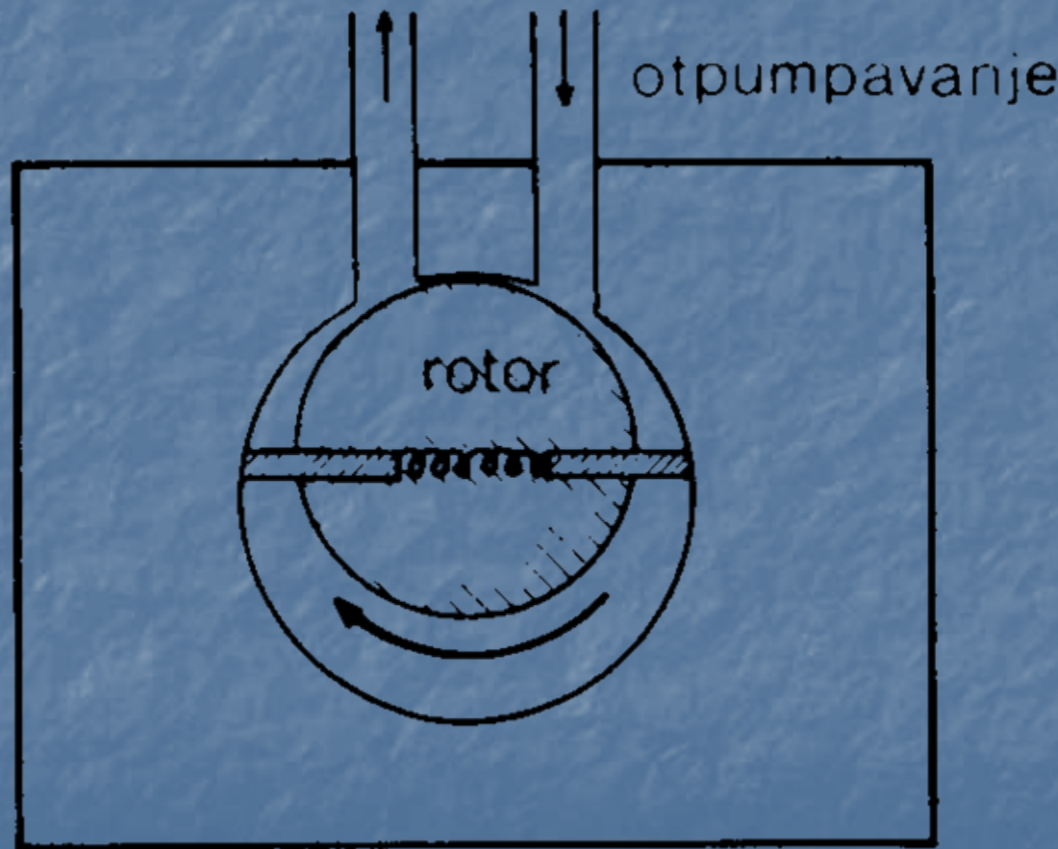
Opće karakteristike

- Različite kvalitete vakuma postižemo različitim uređajima ustrojenim prema različitim fizikalnim principima
- Postizanje vrlo visokih vakuma -- u koracima, primjenom različitih fizikalnih principa i uređaja

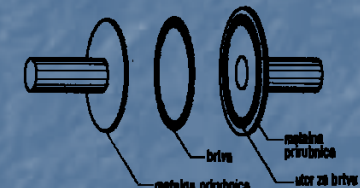
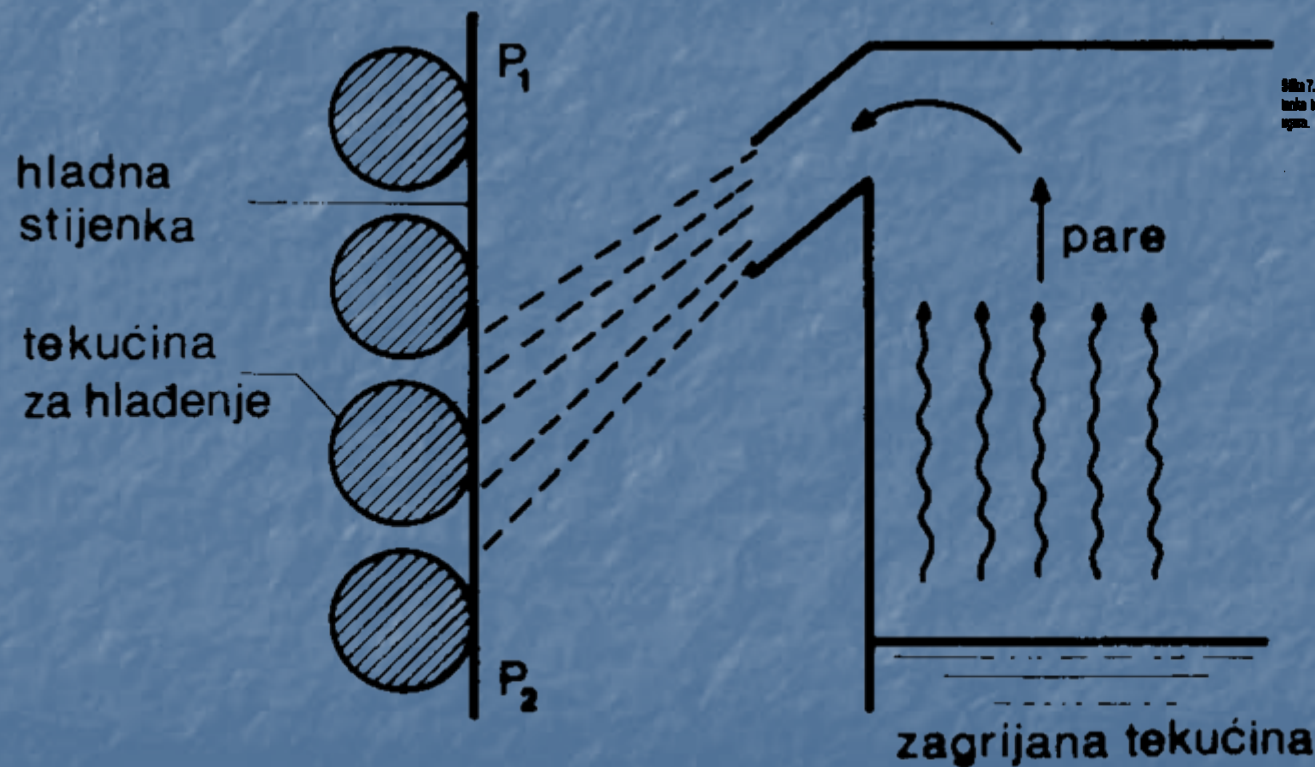
Postizanje vakuma – uređaji

- Mehanička rotacijska pumpa
- Difuzijska pumpa
- Turbomolekularne pumpe
- Ionska pumpa
- Kriogenske pumpe
- Sublimacijske pumpe

Mehanička rotacijska pumpa

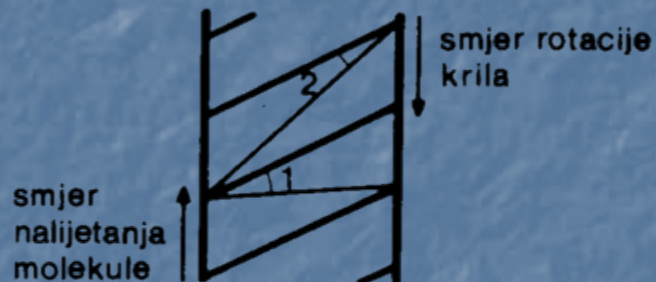


Difuzijska pumpa



Slika 72. Povezivanje vakuumnih komponenata. Između daju mali prstenice postavlja se male kružne brive od elastičnog materijala. Jedin prstenica obliko ima otvor u koj se brive igraju.

Turbomolekularne pumpe



Ionska pumpa

- Molekule plina se ioniziraju elektronima
- Ioni se transportiraju električnim poljem
- Pomoću magnetskog polja može se povećati putanja molekula
- Ukapljivanje

Kriogenske pumpe

- Pothlađivanjem materijala do niskih temperatura smanjuje se tlak zasićenih para.
- Za nekondenzirane plinove smanjuju se njihovi parcijalni tlakovi
- Efekt pumpanja

Sublimacijske pumpe

- Proces u kojem aktivne površine povlače molekule iz prostora vakuma
- Korisno za dobivanje ultravisokog vakuma
- Npr. titanski izvor zagrijan do temperature sublimacije deponira aktivni film na okolne površine koji veže molekule plina.
- Uporabom sublimacijskih pumpi tlak se može smanjiti i za nekoliko radova veličina

Mjerenje vakuuma

- Bourdonova cijev
- Triodna cijev
- Bayard-Alpertov vakuummetar

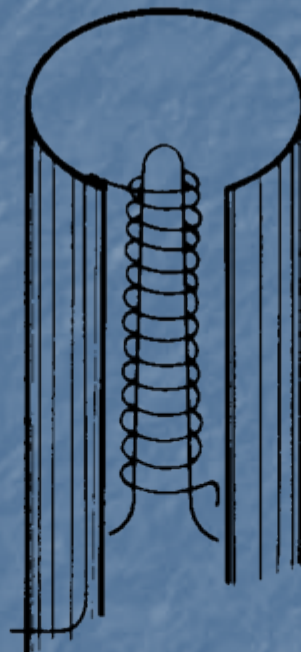
Bourdonova cijev



Slika 7.4. Bourdonova cijev. Spiralna konstrukcija cijevi osigurava da se cijev odmata ili namata ovisno o tome je li u njoj tlak povećan ili umanjen.

Triodna cijev

$$i^+ = \text{konst.} N_{el.} P$$



Važi proporcionalnost
sve do 10^{-6} Pa
Struja mekog x-zračenja
maskira efekt

Slika 7.5. Iz žarne niti katode izlijeću elektroni. Pozitivni potencijal mrežice osigurava akceleraciju elektronima tako da ioniziraju okolni plin. Plašt anode je na naponu koji sprečava elektrone da struje ka anodi; na nju dospijevaju samo pozitivni ioni struje, i^+ . Ta je struja proporcionalna broju molekula prisutnog okolnog plina (tlaku plina).

Bayard-Alpertov vakuummetar

Važi linearna
proporcionalnost
sve do 10^{-10}Pa



Slika 7.6. Bayard-Alpertov vakuummetar. U odnosu na triodu geometrija je invertirana. Katoda je izvan mrežice, a ioni se prikupljaju tankom metalnom niti unutar rešetke.

Vakuumski materijali

- Površine u vakuumu isplinjavaju
- Dinamički tlak je ovisam o brzinama isplinjavanja (v') i isisavanja (v)
$$P_{din} = \text{konst. } v' / v$$
- v' pak ovisi o:
 - Tlaku para materijala
 - Oslobođanju plinova adsorbiranih na površini
 - Difuziji plina kroz materijal (naročito aktivni vodik i helij)

Materijali usklađeni s kvalitetom vakuma

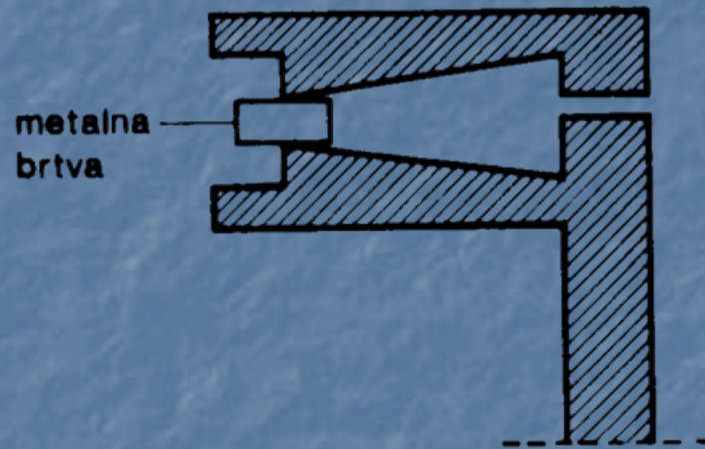
	srednji vakuum	visoki i ultravisoki vakuum
osnovni dijelovi	Aluminij, vučena mqed	nehrđajući čelik
prozirne komponente	staklo	Pyrex (Corning code 7740) aluminijsko staklo (Corning code 1720)
brtve	guma, neopren	metal na metal

Brtvljenje



Slika 7.7. Povezivanje vakuumskih komponenata. Između dviju metalnih prirubnica postavlja se tanka torusna brtva od elastičnog materijala. Jedna prirubnica obično ima utor u koji se brtva ugura.

Brtvljenje metalom



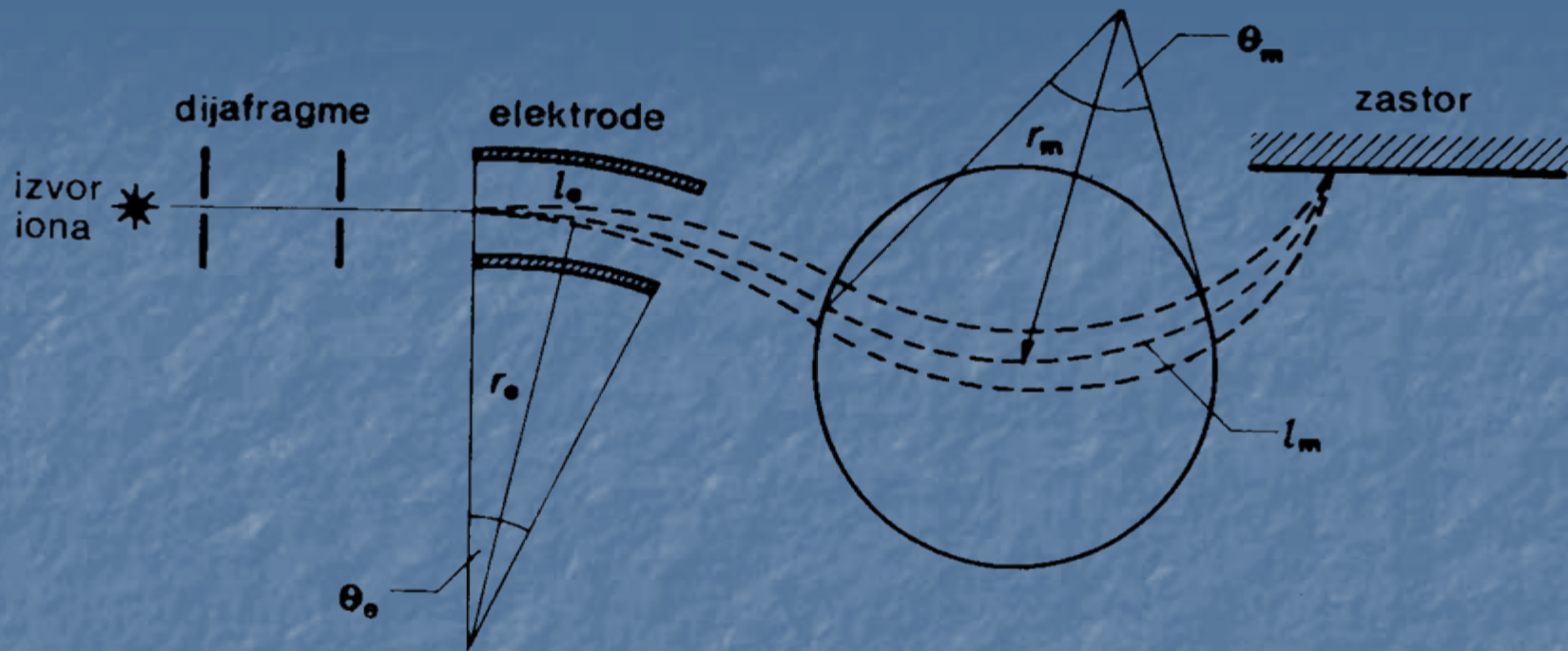
Slika 7.8. Metalno brtvlenje. Umjesto elastične brtve upotrebljava se meki metal (npr. pozlaćeni bakar) i tvori odlično brtvlenje. Pri vertikalnom pritezanzju oštri rubovi prirubnica usijecaju se u brtvu i priječe protok plina u horizontalnom smjeru.

Maseni spektrometar (upotreba u dijagnostici)

- Gibanje nabijene čestice u elektromagnetskom polju
- Problem korekcije zbog disipacije snopa uvjetovane nejednolikom raspodjele po impulsu (brzini) čestica

$$\frac{mv^2}{r_e} = qE$$

$$\frac{mv^2}{r_m} = qvB$$



Slika 7.9. Maseni spektrometar. Osnovne komponente su ionski izvor, dijafragme, električno polje, magnetsko polje i pozicijski osjetljiv instrument. Dužine lukova u poljima označene su sa l , radijus im je r , a kut zakreta θ .

$$\theta_e = \frac{l_e}{r_e} = \frac{qEl_e}{mv^2} \quad \theta_m = \frac{l_m}{r_m} = \frac{qBl_m}{mv} \quad (7.5)$$

Parcijalne disperzije

$$\frac{1}{\theta_e} \frac{d\theta_e}{dv} = \frac{2}{\theta_m} \frac{\theta_m}{dv}$$

$$\frac{1}{\theta_e} \frac{d\theta_e}{dm} = \frac{1}{\theta_m} \frac{\theta_m}{dm}$$

Totalna disperzija

$$\frac{d\theta}{dv} = \frac{d\theta_e}{dv} + \frac{d\theta_m}{dv}$$

- Zgodnim odabirom električnog i magnetskog polja disperzija (ionskog) snopa po brzini može se anulirati

“Leak detection”

- Sprega spektrometra i vakuumskog sustava
- Detekcija helija u ispumpnom kanalu